

Федеральное государственное бюджетное
образовательное учреждение высшего образования
«НОВОСИБИРСКИЙ ГОСУДАРСТВЕННЫЙ ТЕХНИЧЕСКИЙ УНИВЕРСИТЕТ»

Кафедра прикладной математики

Курсовой проект по курсу
«УРАВНЕНИЯ МАТЕМАТИЧЕСКОЙ ФИЗИКИ»

Группа

ПМ-24

Студент(ка)

ПАРАСКУН ИВАН

Новосибирск

2025

Содержание

1	Постановка задачи	3
2	Теоретическая часть	3
2.1	Вариационная постановка	3
2.2	Конечноэлементная СЛАУ	3
2.3	Трилинейные базисные функции	4
2.4	Аппроксимация по времени	5
2.4.1	Двухслойная схема	5
2.4.2	Трехслойная схема	6
2.4.3	Четырехслойная схема	7
3	Описание разработанных программ	8
4	Описание тестирования программы	17
4.1	Тестирование на регулярной сетке	17
4.1.1	Описание задачи	17
4.1.2	Результат выполнения	17
4.2	Тестирование на порядок аппроксимации	19
4.2.1	Описание задачи	19
4.2.2	Результат выполнения	20
4.3	Тестирование на порядок сходимости	20
4.3.1	Описание задачи	20
4.3.2	Результат выполнения	21
5	Проведенные исследования и выводы	22
6	Приложение	23

1. Постановка задачи

Построить МКЭ для уравнения параболического типа

$$-\nabla(\lambda \nabla u) + \gamma u + \sigma \frac{\partial u}{\partial t} = f \quad (1)$$

в декартовой системе координат

$$-\frac{\partial}{\partial x}(\lambda \frac{\partial u}{\partial x}) - \frac{\partial}{\partial y}(\lambda \frac{\partial u}{\partial y}) - \frac{\partial}{\partial z}(\lambda \frac{\partial u}{\partial z}) + \gamma u + \sigma \frac{\partial u}{\partial t} = f \quad (2)$$

с учётом следующих краевых условий:

$$u|_{S_1} = u_g \quad (3)$$

$$\lambda \frac{\partial u}{\partial n} \Big|_{S_2} = \theta \quad (4)$$

$$\lambda \frac{\partial u}{\partial n} \Big|_{S_3} + \beta(u|_{S_3} - u_\beta) = 0 \quad (5)$$

2. Теоретическая часть

2.1. Вариационная постановка

Эквивалентная вариационная постановка в форме уравнения Галёркина для эллиптического уравнения, входящего в уравнение 1:

$$\begin{aligned} \int_{\Omega} \lambda \nabla u \nabla v_0 d\Omega + \int_{\Omega} \gamma u v_0 d\Omega + \int_{S_3} \beta u v_0 dS \\ = \int_{\Omega} f v_0 d\Omega + \int_{S_2} \theta v_0 dS + \int_{S_3} \beta u_\beta v_0 dS, \quad \forall v_0 \in H_0^1 \end{aligned} \quad (6)$$

Аппроксимация уравнения 6 на конечномерных подпространствах V_g^h и V_0^h получается заменой функций $u \in H_g^1$ и $v_0 \in H_0^1$ на функции $u_h \in V_g^h$ и $v_0^h \in V_0^h$ соответственно:

$$\begin{aligned} \int_{\Omega} \lambda \nabla u^h \nabla v_0^h d\Omega + \int_{\Omega} \gamma u^h v_0^h d\Omega + \int_{S_3} \beta u^h v_0^h dS \\ = \int_{\Omega} f v_0^h d\Omega + \int_{S_2} \theta v_0^h dS + \int_{S_3} \beta u_\beta v_0^h dS, \quad \forall v_0^h \in V_0^h \end{aligned} \quad (7)$$

2.2. Конечноэлементная СЛАУ

Раскладывая функции u и v_0 по базису, переходим к конечноэлементной СЛАУ

$$\begin{aligned}
\sum_{j=1}^n \left(\int_{\Omega} \lambda \nabla \psi_j \nabla \psi_i d\Omega + \int_{\Omega} \gamma \psi_j \psi_i d\Omega + \int_{S_3} \beta \psi_j \psi_i dS \right) q_j \\
= \int_{\Omega} f \psi_i d\Omega + \int_{S_2} \theta \psi_i dS + \int_{S_3} \beta u_{\beta} \psi_i dS, \quad i \in N_0
\end{aligned} \tag{8}$$

или в матричном виде

$$(\mathbf{G} + \mathbf{M}^{\gamma} + \mathbf{M}^{S_3}) \mathbf{q} = \mathbf{b} \tag{9}$$

где компоненты определяются соотношениями

$$G_{ij} = \int_{\Omega} \lambda \nabla \psi_j \nabla \psi_i d\Omega = \sum_k \int_{\hat{\Omega}} \hat{\lambda} \nabla \hat{\psi}_j \nabla \hat{\psi}_i d\hat{\Omega} \tag{10}$$

$$M_{ij}^{\gamma} = \int_{\Omega} \gamma \psi_j \psi_i d\Omega = \sum_k \int_{\hat{\Omega}} \hat{\gamma} \hat{\psi}_j \hat{\psi}_i d\hat{\Omega} \tag{11}$$

$$M_{ij}^{S_3} = \int_{S_3} \beta \psi_j \psi_i dS = \sum_k \int_{\hat{S}_3} \hat{\beta} \hat{\psi}_j \hat{\psi}_i d\hat{S} \tag{12}$$

$$b_i^{\Omega} = \int_{\Omega} f \psi_i d\Omega = \sum_k \int_{\hat{\Omega}} \hat{f} \hat{\psi}_i d\hat{\Omega} \tag{13}$$

$$b_i^{S_2} = \int_{S_2} \theta \psi_i dS = \sum_k \int_{\hat{S}_2} \hat{\theta} \hat{\psi}_i d\hat{S} \tag{14}$$

$$b_i^{S_3} = \int_{S_3} \beta u_{\beta} \psi_i dS = \sum_k \int_{\hat{S}_3} \hat{\beta} \hat{u}_{\beta} \hat{\psi}_i d\hat{S} \tag{15}$$

2.3. Трилинейные базисные функции

Трилинейные базисные функции на прямоугольном параллелепипеде Ω_{psr} строятся следующим образом:

$$\begin{aligned}
X_1(x) &= \frac{x_{p+1} - x}{h_x}, & X_2(x) &= \frac{x - x_p}{h_x}, & h_x &= x_{p+1} - x_p, \\
Y_1(y) &= \frac{y_{s+1} - y}{h_y}, & Y_2(y) &= \frac{y - y_s}{h_y}, & h_y &= y_{s+1} - y_s, \\
Z_1(z) &= \frac{z_{r+1} - z}{h_z}, & Z_2(z) &= \frac{z - z_r}{h_z}, & h_z &= z_{r+1} - z_r.
\end{aligned}$$

$$\hat{\psi}_i = X_{\mu(i)} Y_{\nu(i)} Z_{\vartheta(i)} \tag{16}$$

Выражения для вычисления компонент локальных матриц и векторов на прямоугольном параллелепипеде Ω_{psr} :

$$\begin{aligned}\hat{G}_{ij} = & \hat{\lambda}(G_{\mu(k)\mu(j)\mu(i)}^x M_{\nu(k)\nu(j)\nu(i)}^y M_{\vartheta(k)\vartheta(j)\vartheta(i)}^z + \\ & M_{\mu(k)\mu(j)\mu(i)}^x G_{\nu(k)\nu(j)\nu(i)}^y M_{\vartheta(k)\vartheta(j)\vartheta(i)}^z + \\ & M_{\mu(k)\mu(j)\mu(i)}^x M_{\nu(k)\nu(j)\nu(i)}^y G_{\vartheta(k)\vartheta(j)\vartheta(i)}^z)\end{aligned}\quad (17)$$

$$\hat{M}_{ij}^\gamma = \hat{\gamma}(M_{\mu(j)\mu(i)}^x M_{\nu(j)\nu(i)}^y M_{\vartheta(j)\vartheta(i)}^z) \quad (18)$$

$$\hat{M}_{ij}^{S_3} = \hat{\beta}(M_{\mu(j)\mu(i)}^\xi M_{\nu(j)\nu(i)}^\chi) \quad (19)$$

$$\hat{b}_i^\Omega = \sum_{k=1}^8 \hat{f}_k(M_{\mu(k)\mu(i)}^x M_{\nu(k)\nu(i)}^y M_{\vartheta(k)\vartheta(i)}^z) \quad (20)$$

$$\hat{b}_i^{S_2} = \sum_{k=1}^4 \hat{\theta}_k(M_{\mu(k)\mu(i)}^\xi M_{\nu(k)\nu(i)}^\chi) \quad (21)$$

$$\hat{b}_i^{S_3} = \hat{\beta} \sum_{k=1}^4 \hat{u}_{\beta,k}(M_{\mu(k)\mu(i)}^\xi M_{\nu(k)\nu(i)}^\chi) \quad (22)$$

где

$$\mathbf{G}^\xi = \frac{1}{h_\xi} \begin{pmatrix} 1 & -1 \\ -1 & 1 \end{pmatrix} \quad (23)$$

$$\mathbf{M}^\xi = \frac{h_\xi}{6} \begin{pmatrix} 2 & 1 \\ 1 & 2 \end{pmatrix} \quad (24)$$

2.4. Аппроксимация по времени

2.4.1. Двухслойная схема

Полагая, что коэффициенты λ и γ не зависят от времени, неявная двухслойная схема аппроксимации уравнения 1 по времени может быть выписана как

$$-\nabla(\lambda \nabla u^j) + \gamma u^j + \sigma \frac{u^j - u^{j-1}}{\Delta t} = f^j, \quad j = 1 \dots J \quad (25)$$

где u^{j-1} - решение, полученное на предыдущем временном слое, а u^0 - начальное условие.

Проводя преобразования, аналогичные тем, что были проведены для эллиптической составляющей, получаем следующее матричное уравнение:

$$(\mathbf{G} + \mathbf{M}^\gamma + \mathbf{M}^{S_3} + \frac{1}{\Delta t} \mathbf{M}^\sigma) \mathbf{q}^j = \mathbf{b}^j + \frac{1}{\Delta t} \mathbf{M}^\sigma \mathbf{q}^{j-1} \quad (26)$$

2.4.2. Трехслойная схема

Представим искомое решение u на интервале (t_{j-2}, t_j) в следующем виде:

$$u(x, y, z, t) \approx u^{j-2}(x, y, z)\eta_2^j(t) + u^{j-1}(x, y, z)\eta_1^j(t) + u^j(x, y, z)\eta_0^j(t) \quad (27)$$

где функции $\eta_2^j(t), \eta_1^j(t), \eta_0^j(t)$ - базисные квадратичные полиномы Лагранжа, которые могут быть записаны в виде

$$\eta_2^j(t) = \frac{(t - t_{j-1})(t - t_j)}{2\Delta t^2} \quad (28)$$

$$\eta_1^j(t) = -\frac{(t - t_{j-2})(t - t_j)}{\Delta t^2} \quad (29)$$

$$\eta_0^j(t) = \frac{(t - t_{j-2})(t - t_{j-1})}{2\Delta t^2} \quad (30)$$

Производные по времени на j -ом временном слое:

$$\left. \frac{d\eta_2^j(t)}{dt} \right|_{t=t_j} = \frac{1}{2\Delta t} \quad (31)$$

$$\left. \frac{d\eta_1^j(t)}{dt} \right|_{t=t_j} = -\frac{2}{\Delta t} \quad (32)$$

$$\left. \frac{d\eta_0^j(t)}{dt} \right|_{t=t_j} = \frac{3}{2\Delta t} \quad (33)$$

Применяя выражение 27 для аппроксимации производной по времени уравнения 1 на j -ом временном слое:

$$\begin{aligned} \left. \frac{\partial}{\partial t} (u^{j-2}(x, y, z)\eta_2^j(t) + u^{j-1}(x, y, z)\eta_1^j(t) + u^j(x, y, z)\eta_0^j(t)) \right|_{t=t_j} \\ - \nabla(\lambda \nabla u^j) + \gamma u^j = f^j, \quad j = 2 \dots J \end{aligned} \quad (34)$$

или, с учётом выражений для вычисления производных

$$-\nabla(\lambda \nabla u^j) + \gamma u^j + \frac{1}{2\Delta t} u^{j-2} - \frac{2}{\Delta t} u^{j-1} + \frac{3}{2\Delta t} u^j = f^j \quad (35)$$

Проводя преобразования, аналогичные тем, что были проведены для эллиптической составляющей, получаем следующее матричное уравнение:

$$(\mathbf{G} + \mathbf{M}^\gamma + \mathbf{M}^{S_3} + \frac{3}{2\Delta t} \mathbf{M}^\sigma) \mathbf{q}^j = \mathbf{b}^j - \frac{1}{2\Delta t} \mathbf{M}^\sigma \mathbf{q}^{j-2} + \frac{2}{\Delta t} \mathbf{M}^\sigma \mathbf{q}^{j-1} \quad (36)$$

2.4.3. Четырехслойная схема

Представим искомое решение u на интервале (t_{j-2}, t_j) в следующем виде:

$$u(x, y, z, t) \approx u^{j-3}(x, y, z)\eta_3^j(t) + u^{j-2}(x, y, z)\eta_2^j(t) + u^{j-1}(x, y, z)\eta_1^j(t) + u^j(x, y, z)\eta_0^j(t) \quad (37)$$

где функции $\eta_3^j(t), \eta_2^j(t), \eta_1^j(t), \eta_0^j(t)$ - базисные кубические полиномы Лагранжа, которые могут быть записаны в виде

$$\eta_3^j(t) = -\frac{(t - t_{j-2})(t - t_{j-1})(t - t_j)}{6\Delta t^3} \quad (38)$$

$$\eta_2^j(t) = \frac{(t - t_{j-3})(t - t_{j-1})(t - t_j)}{2\Delta t^3} \quad (39)$$

$$\eta_1^j(t) = -\frac{(t - t_{j-3})(t - t_{j-2})(t - t_j)}{2\Delta t^3} \quad (40)$$

$$\eta_0^j(t) = \frac{(t - t_{j-3})(t - t_{j-2})(t - t_{j-1})}{6\Delta t^3} \quad (41)$$

Производные по времени на j -ом временном слое:

$$\left. \frac{d\eta_3^j(t)}{dt} \right|_{t=t_j} = -\frac{1}{3\Delta t} \quad (42)$$

$$\left. \frac{d\eta_2^j(t)}{dt} \right|_{t=t_j} = \frac{3}{2\Delta t} \quad (43)$$

$$\left. \frac{d\eta_1^j(t)}{dt} \right|_{t=t_j} = -\frac{3}{\Delta t} \quad (44)$$

$$\left. \frac{d\eta_0^j(t)}{dt} \right|_{t=t_j} = \frac{11}{6\Delta t} \quad (45)$$

Применяя выражение 37 для аппроксимации производной по времени уравнения 1 на j -ом временном слое:

$$\left. \frac{\partial}{\partial t} (u^{j-3}(x, y, z)\eta_3^j(t) + u^{j-2}(x, y, z)\eta_2^j(t) + u^{j-1}(x, y, z)\eta_1^j(t) + u^j(x, y, z)\eta_0^j(t)) \right|_{t=t_j} - \nabla(\lambda \nabla u^j) + \gamma u^j = f^j, \quad j = 2 \dots J \quad (46)$$

или, с учётом выражений для вычисления производных

$$-\nabla(\lambda \nabla u^j) + \gamma u^j - \frac{1}{3\Delta t} u^{j-3} + \frac{3}{2\Delta t} u^{j-2} - \frac{3}{\Delta t} u^{j-1} + \frac{11}{6\Delta t} u^j = f^j \quad (47)$$

Проводя преобразования, аналогичные тем, что были проведены для эллиптической составляющей, получаем следующее матричное уравнение:

$$(\mathbf{G} + \mathbf{M}^\gamma + \mathbf{M}^{S_3} + \frac{11}{6\Delta t}\mathbf{M}^\sigma)\mathbf{q}^j = \mathbf{b}^j + \frac{1}{3\Delta t}\mathbf{M}^\sigma\mathbf{q}^{j-3} - \frac{3}{2\Delta t}\mathbf{M}^\sigma\mathbf{q}^{j-2} + \frac{3}{\Delta t}\mathbf{M}^\sigma\mathbf{q}^{j-1} \quad (48)$$

3. Описание разработанных программ

```

/** Segment. */
typedef struct seg
{
    int vtx[2];
    int pid;
    int qud;
} seg;

/** Quadrangle. */
typedef struct qud
{
    int vtx[4];
    int pid;
    int hxd;
} qud;

/** Hexahedron. */
typedef struct hxd
{
    int vtx[8];
    int pid;
} hxd;

cut_def(seg_cut, seg);
cut_def(qud_cut, qud);
cut_def(hxd_cut, hxd);

/** Unstructured mesh. */
typedef struct msh
{
    struct vec_cut vtx; // vertices
    struct seg_cut seg; // segments
    struct qud_cut qud; // quadrangles
    struct hxd_cut hxd; // hexahedrons
} msh;

int msh_new(struct msh *msh);
int msh_cls(struct msh *msh);

/** Import mesh in Elmer format. */
int msh_imp_grd(struct msh *msh, const char *dir, const char *pfx);

/** Export mesh in CGNS format. */

```



```

int msh_exp_gns(struct msh *msh, const char *dir, const char *pfx);

/** Calculate quadrangle normal vector. */
int msh_qud_nrm(struct msh *msh, struct qud *qud, struct vec *nrm);

struct sim_fun_ctx
{
    struct sim *sim; // simulation

    int vtx; // hinted vertex
    int qud; // hinted quadrangle
    int hxd; // hinted hexahedron
};

typedef struct val
{
    enum
    {
        VAL_NUM, // constant
        VAL_FUN, // function
    } type;

    union
    {
        double num; // constant value
        mfun fun; // function of space, time and field
    } as;

    struct
    {
        bool fd; // field dependence
        mfun dif; // partial derivative with respect to field
    } ops;
} val;

/** Boundary condition. */
typedef struct cnd_bnd
{
    /** Boundary condition type. */
    enum cnd_bnd_type
    {
        CND_BND_DIR, // Dirichlet
        CND_BND_NEU, // Neumann
        CND_BND_ROB, // Robin
    } type;

    union
    {
        struct
        {
            val tgt; // field
        } dir;
    }
};

```

```

    struct
    {
        val tta; // field flux
    } neu;

    struct
    {
        val bet; // robin coefficient
        val ext; // external field
    } rob;
    } pps;
} cnd_bnd;

/** Initial condition. */
typedef struct cnd_ini
{
    val tgt; // field
} cnd_ini;

cut_def(val_cut, val);
cut_def(cnd_bnd_cut, cnd_bnd);
cut_def(cnd_ini_cut, cnd_ini);

/**
 * Material.
 *
 * Specifies the physical properties of an object.
 */
typedef struct mat
{
    val lam; // diffusion coefficient
    val gam; // reaction coefficient
    val sig;
    val chi;
} mat;

/**
 * Object.
 *
 * Physical group for volume elements.
 */
typedef struct obj
{
    int mat; // material
    int ini; // initial condition
    int src; // source field
} obj;

/**
 * Boundary.
 *

```

```

    * Physical group for face elements.
    */
typedef struct bnd
{
    int cnd; // boundary condition
} bnd;

cut_def(mat_cut, mat);
cut_def(obj_cut, obj);
cut_def(bnd_cut, bnd);

/** Simulation. */
typedef struct sim
{
    /** Simulation mode (equation type). */
    enum
    {
        SIM_ELL, // elliptic
        SIM_PBC, // parabolic
        SIM_HYP, // hyperbolic
    } mod;

    struct sim_ops
    {
        /** User-defined functions. */
        struct
        {
            char dir[128]; // usr directory
            char pfx[64];  // usr prefix

            void *hdl; // dynamic-library handler
        } usr;

        struct
        {
            char dir[128]; // mesh directory
            char pfx[64];  // mesh prefix
        } msh;

        /** Export options. */
        struct
        {
            enum
            {
                SIM_EXP_GNS, // CGNS
            } mod;

            char dir[128]; // export directory
            char pfx[64];  // export prefix

            /**

```

```

        * Export commons (simulation defined).
        *
        * @param sim - simulation
        */
    int (*ini)(struct sim *sim);

    /**
     * Export runtime solution (simulation defined).
     *
     * @param sim - simulation
     */
    int (*put)(struct sim *sim);
} exp;

/** Time discretization options. */
struct
{
    int num; // number of time intervals

    double beg; // initial time
    double hop; // time interval length
} tdd;
} ops;

struct msh *msh; // active mesh
struct slv *slv; // active solver

struct mat_cut mat; // materials
struct val_cut src; // sources
struct obj_cut obj; // objects
struct bnd_cut bnd; // boundaries

struct cnd_ini_cut cnd_ini; // initial conditions
struct cnd_bnd_cut cnd_bnd; // boundary conditions
} sim;

int sim_new(struct sim *sim);
int sim_cls(struct sim *sim);

/** Import simulation from CGNS file. */
int sim_imp_gns(struct sim *sim, const char *gns);

/** Import simulation from Elmer file. */
int sim_imp_elm(struct sim *sim, const char *sif);

/** Export commons in CGNS format. */
int sim_exp_gns_ini(struct sim *sim);

/** Export solution in CGNS format. */
int sim_exp_gns_put(struct sim *sim);

```

```

/** Start simulation. */
int sim_run(struct sim *sim);

struct apx_fun_ctx
{
    struct sim *sim; // simulation
    struct vec *wgt; // solution (null for runtime)

    int vtx; // hinted vertex
    int qud; // hinted quadrangle
    int hxd; // hinted hexahedron
};

/** Simulation solver. */
typedef struct slv
{
    struct slv_ops
    {
        /** Time discretization strategy. */
        enum tdd_mod
        {
            TDD_I2S = 2, // implicit 2-layered
            TDD_I3S = 3, // implicit 3-layered
            TDD_I4S = 4, // implicit 4-layered
        } tdd;

        /** Options related to initial conditions. */
        struct
        {
            int num; // number of precomputed layers
        } ini;

        /** Options for nonlinear system solver. */
        struct
        {
            enum non_mod
            {
                NON_FPI, // fixed-point iteration
                NON_NEW, // Newton's linearization
            } mod;

            uint8_t map;

            struct non_ops
            {
                int max; // maximum number of iterations
                double err; // convergence tolerance
                bool rlx; // enable relaxation

                /**
                 * Nonlinear iteration callback (user defined).
                 *

```

```

        * Called for each nonlinear iteration.
        */
    struct
    {
        void *ctx;
        void (*run)(void *ctx, struct non_ops *ops);
    } itr;

    enum
    {
        DIF_NUM,
        DIF_GIV,
    } dif;

    /** Runtime data made available by solver. */
    struct
    {
        int itr; // current iteration
        double err; // current error
        double rlx; // optimal relaxation factor
    } run;
    } ops;
} non;

/** Options for linear system solver. */
struct
{
    enum iss_mod mod;

    union
    {
        struct iss_jac_ops jac;
        struct iss_rlx_ops rlx;
        struct iss_bcg_ops bcg;
    } ops;
} iss;
} ops;

/**
 * Execute solver (implementation defined).
 *
 * @param sim - simulation
 */
int (*exe)(struct sim *sim);

/**
 * Approximate solution at given point (implementation defined).
 *
 * @param ctx - context
 * @param vtx - target point
 */

```

```

double (*apx)(struct apx_fun_ctx *ctx, struct vec *vtx);

/**
 * Solution callback (user defined).
 *
 * Called for each time layer. Called once
 * for elliptic equations.
 *
 * @param sim - simulation
 */
struct
{
    void *ctx;
    void (*run)(void *ctx, struct sim *sim);
} itr;

/**
 * Runtime data made available by solver.
 *
 * Updated on each time layer and not
 * available after solver exits.
 */
struct
{
    struct vec *wgt[4]; // buffered solution

    int bs; // number of buffered layers (1 - 4)
    int ti; // current time iteration
    double tv; // current time value
} run;
} slv;

/** Finite Element Method simulation solver. */
struct fem
{
    struct slv slv;

    struct fem_ops
    {
        /** Solution mode. */
        enum
        {
            FEM_STD, // standard
            FEM_HMC, // harmonic
        } mod;

        /** Basis functions. */
        enum
        {
            FEM_BSS_LIN, // trilinear
        } bss;
    } ops;

```

```
};
```

```
int fem_new(struct fem *fem);  
int fem_exe(struct sim *sim);
```


4. Описание тестирования программы

4.1. Тестирование на регулярной сетке

4.1.1. Описание задачи

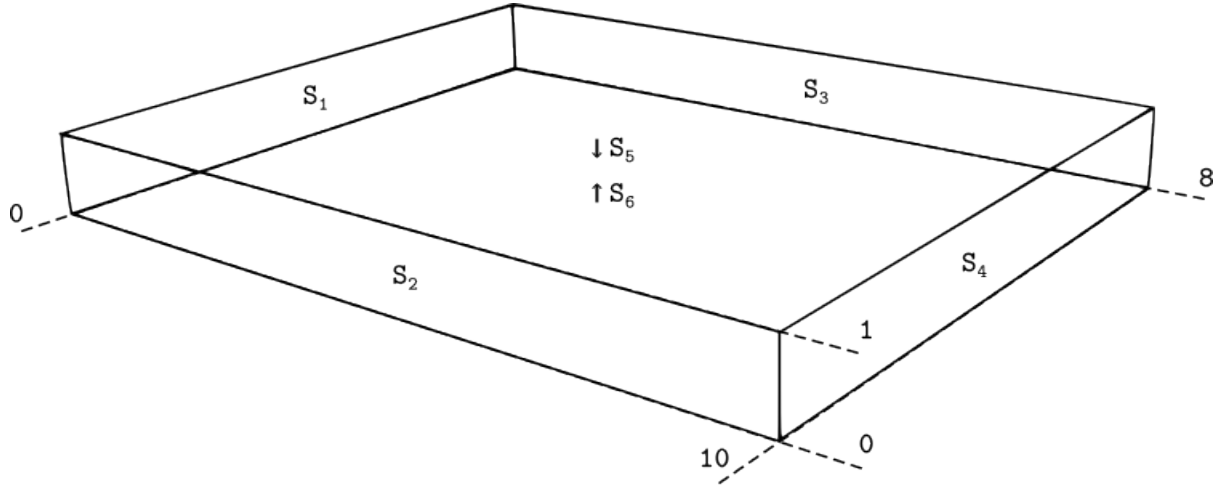


Рис. 1: Засчётная область

Условия

Решение - полином вида

$$u = 5xt^3 - 2zt^2 + yt + 1 \quad (49)$$

Принимая значения коэффициентов $\lambda = 1$, $\gamma = 0$, $\sigma = 2$, $\beta = 10$, получаем

$$\begin{aligned} f &= 30xt^2 - 8zt + 2y \\ \theta|_{S_1} &= -5t^3 \\ \theta|_{S_3} &= t \\ \theta|_{S_5} &= -2t^2 \\ u_\beta|_{S_2} &= 5xt^3 - 2zt^2 + yt + 1 - 0.1t \\ u_\beta|_{S_4} &= 5xt^3 - 2zt^2 + yt + 1 + 0.5t^3 \\ u_\beta|_{S_6} &= 5xt^3 - 2zt^2 + yt + 1 + 0.2t^2 \end{aligned}$$

Значения параметров по времени: $t_0 = 0$, $t_1 = 25$, $\Delta t = 1$.

4.1.2. Результат выполнения

Для демонстрации работы многослойных схем аппроксимации по времени, решения на первых временных слоях были взяты аналитически (1-3 начальных условия).

j	$E(u - u^*)$		
	Двухслойная схема	Трёхслойная схема	Четырёхслойная схема
0	0.0000000E+00	0.0000000E+00	0.0000000E+00
1	1.3008431E+02	0.0000000E+00	0.0000000E+00
2	3.9599125E+02	1.0564511E+02	0.0000000E+00
3	7.2839704E+02	1.9439680E+02	3.7414677E-11
4	1.0920167E+03	2.4007804E+02	1.8934309E-11
5	1.4702653E+03	2.5755264E+02	5.3405582E-11
6	1.8553821E+03	2.6224142E+02	7.1549513E-11
7	2.2437265E+03	2.6252408E+02	1.9607504E-10
8	2.6335882E+03	2.6184524E+02	1.2670078E-10
9	3.0241632E+03	2.6127019E+02	3.8652964E-10
10	3.4150735E+03	2.6096067E+02	5.1888799E-10
11	3.8061415E+03	2.6083480E+02	6.3853943E-10
12	4.1972836E+03	2.6079814E+02	1.2761810E-09
13	4.5884605E+03	2.6079426E+02	1.0528181E-09
14	4.9796539E+03	2.6079828E+02	1.3561256E-09
15	5.3708549E+03	2.6080206E+02	1.8517922E-09
16	5.7620596E+03	2.6080417E+02	1.8093863E-09
17	6.1532660E+03	2.6080504E+02	2.1203369E-09
18	6.5444732E+03	2.6080531E+02	2.9247722E-09
19	6.9356808E+03	2.6080535E+02	2.6484560E-09
20	7.3268886E+03	2.6080533E+02	3.3724367E-09
21	7.7180964E+03	2.6080530E+02	3.8412062E-09
22	8.1093043E+03	2.6080529E+02	8.4636231E-09
23	8.5005122E+03	2.6080528E+02	5.3736107E-09
24	8.8917201E+03	2.6080528E+02	1.0244272E-08
25	9.2829280E+03	2.6080528E+02	8.3934569E-09

Таблица 1: Погрешность решения на t_j временном слое

Рис. 2: Визуализация решения

4.2. Тестирование на порядок аппроксимации

Исследование реализованных конфигураций на порядок аппроксимации состоит в отыскании предельной степени решения по времени (k), при котором исследуемый метод даёт точное решение.

4.2.1. Описание задачи

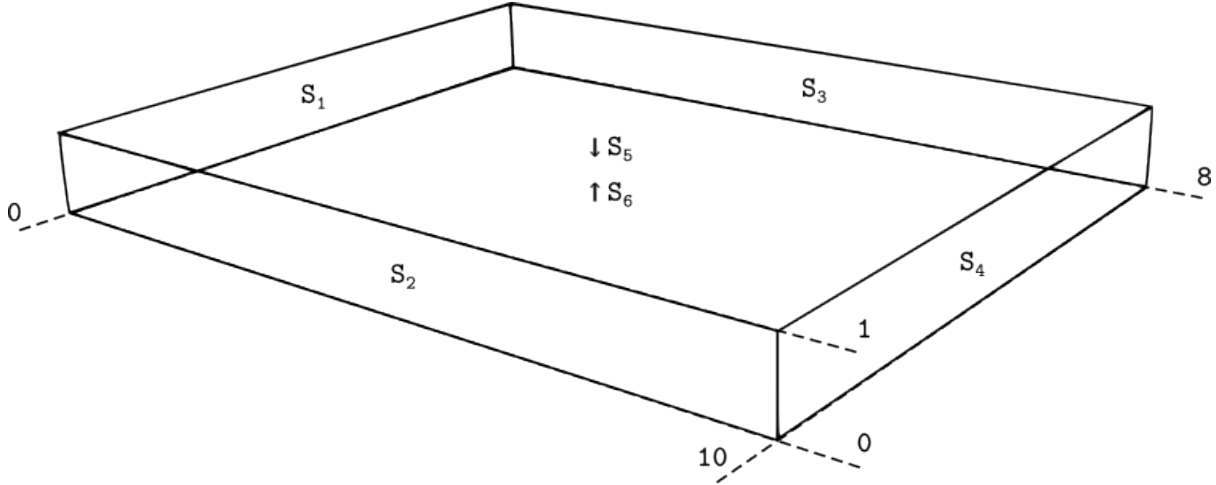


Рис. 3: Засчётная область

Условия

Решение - полином вида

$$u = x \sum_{p=0}^k (-1)^p t^p \quad (50)$$

Принимая значения коэффициентов $\lambda = 1$, $\gamma = 0$, $\sigma = 2$, $\beta = 10$, получаем

$$\begin{aligned} f &= \sigma x \sum_{p=1}^k (-1)^p p t^{p-1} \\ \theta|_{S_1} &= - \sum_{p=0}^k (-1)^p t^p \\ \theta|_{S_3, S_5} &= 0 \\ u_\beta|_{S_2} &= x \sum_{p=0}^k (-1)^p t^p \\ u_\beta|_{S_4} &= x \sum_{p=0}^k (-1)^p t^p + \frac{1}{\beta} \sum_{p=0}^k (-1)^p t^p \\ u_\beta|_{S_6} &= x \sum_{p=0}^k (-1)^p t^p \end{aligned}$$

4.2.2. Результат выполнения

k	$E(u - u^*)$		
	Двухслойная схема	Трёхслойная схема	Четырёхслойная схема
1	1.8910842e-11	1.0456255e-11	1.0443263e-11
2	5.3892025e+00	2.0982637e-11	1.7016870e-11
3	2.1751659e+02	1.3903611e+01	7.1946536e-10
4	3.1009917e+03	9.5079913e+02	4.1711331e+01

Таблица 2: Погрешность решения различных конфигурации в зависимости от степени полинома по времени

4.3. Тестирование на порядок сходимости

Исследование реализованных конфигураций на порядок сходимости состоит в отыскании зависимости между приращением аргумента (Δt) и приращением погрешности ($E(|u - u^*|)$).

4.3.1. Описание задачи

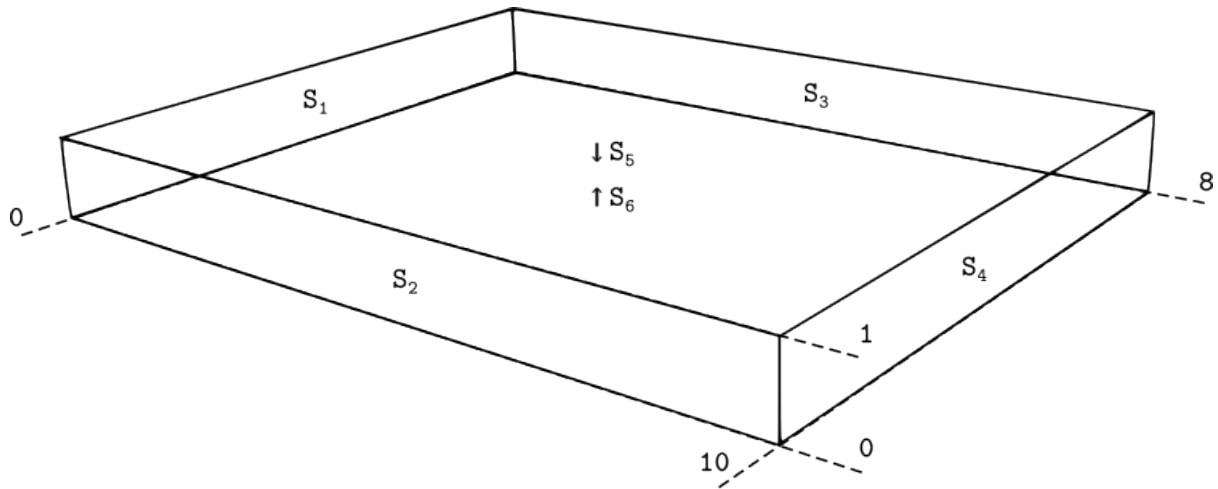


Рис. 4: Засчётная область

Условия

Решение - периодическая функция вида

$$u = x \sin(t) \quad (51)$$

Принимая значения коэффициентов $\lambda = 1$, $\gamma = 0$, $\sigma = 2$, $\beta = 10$, получаем

$$\begin{aligned}
f &= 2x\cos(t) \\
\theta|_{S_1} &= -\sin(t) \\
\theta|_{S_3, S_5} &= 0 \\
u_\beta|_{S_2} &= x\sin(t) \\
u_\beta|_{S_4} &= x\sin(t) + 0.1\sin(t) \\
u_\beta|_{S_6} &= x\sin(t)
\end{aligned}$$

4.3.2. Результат выполнения

Δt	$E(u - u^*)$		
	Двухслойная схема	Трёхслойная схема	Четырёхслойная схема
128	1.9937299e+00	1.9653237e+00	1.8809388e+00
64	4.0825225e+00	4.1217005e+00	4.1863085e+00
32	2.9847026e+00	2.9443783e+00	2.9496760e+00
16	2.6096649e+00	1.7627706e+00	8.5205136e-01
8	2.9448070e+00	2.2266707e+00	1.2489770e+00
4	6.3049236e+00	6.7250638e+00	7.1964954e+00
2	3.3799714e+00	1.9801666e+00	8.9490448e-01
1	1.7260509e+00	1.4720958e-01	8.8526785e-01
0.5	8.6951389e-01	1.4709618e-01	1.5626740e-01
0.25	4.3448994e-01	6.0461663e-02	1.7622318e-02
0.125	2.2493731e-01	1.8818973e-02	2.0403619e-03
0.0625	1.3608882e-01	3.6531704e-03	2.5589829e-04
0.03125	2.6128831e-02	1.0842462e-03	1.1810640e-05

Таблица 3: Погрешность решения различных конфигурации в зависимости от шага по времени

5. Проведенные исследования и выводы

Порядок аппроксимации двух-, трёх- и четырёхслойной схем равны, соответственно, 1, 2 и 3.

По полученным значениям погрешности решения в зависимости от шага по времени построим зависимость приращения погрешности от шага по времени:

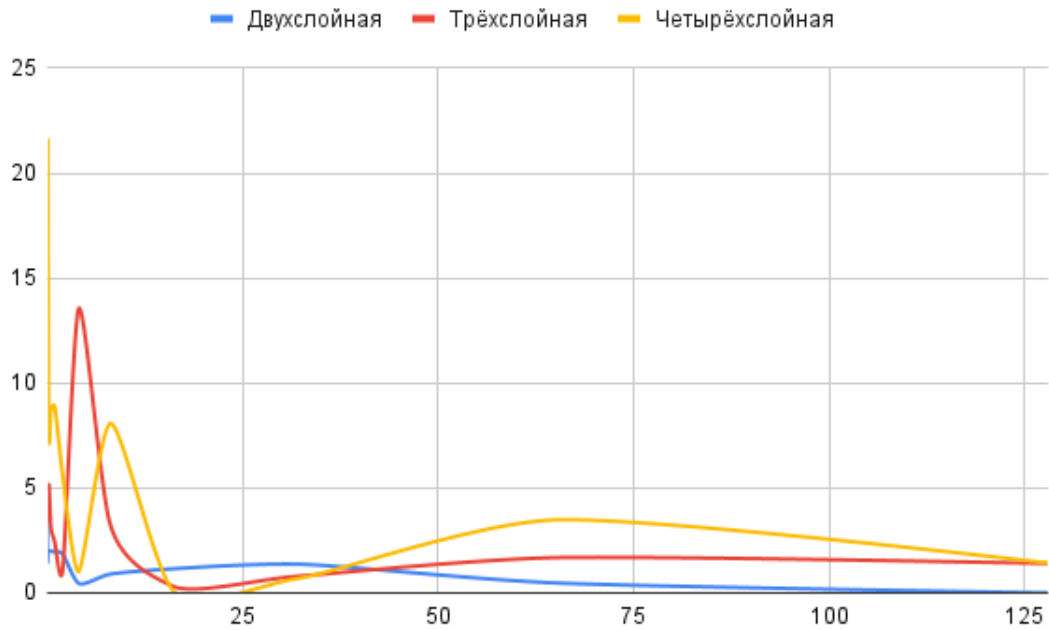


Рис. 5: Зависимость приращения погрешности от шага по времени

6. Приложение

```
double fem_lin_apx(struct apx_fun_ctx *ctx, struct vec *vtx)
{
    assert(ctx);
    assert(vtx);

    struct vec *v = ctx->sim->msh->vtx.dat;
    struct hxd *h = &ctx->sim->msh->hxd.dat[ctx->hxd];

    double *w = ctx->wgt->dat;

    int v0 = h->vtx[0];
    int v7 = h->vtx[7];

    double x1 = v[v0].dat[0];
    double x2 = v[v7].dat[0];
    double y1 = v[v0].dat[1];
    double y2 = v[v7].dat[1];
    double z1 = v[v0].dat[2];
    double z2 = v[v7].dat[2];

    double hm = (x2 - x1) * (y2 - y1) * (z2 - z1);

    double x = vtx->dat[0];
    double y = vtx->dat[1];
    double z = vtx->dat[2];
    double r = 0;

    r += w[h->vtx[0]] * (x2 - x) * (y2 - y) * (z2 - z) / hm;
    r += w[h->vtx[1]] * (x - x1) * (y2 - y) * (z2 - z) / hm;
    r += w[h->vtx[2]] * (x2 - x) * (y - y1) * (z2 - z) / hm;
    r += w[h->vtx[3]] * (x - x1) * (y - y1) * (z2 - z) / hm;
    r += w[h->vtx[4]] * (x2 - x) * (y2 - y) * (z - z1) / hm;
    r += w[h->vtx[5]] * (x - x1) * (y2 - y) * (z - z1) / hm;
    r += w[h->vtx[6]] * (x2 - x) * (y - y1) * (z - z1) / hm;
    r += w[h->vtx[7]] * (x - x1) * (y - y1) * (z - z1) / hm;

    return r;
}

static int ell_slv(struct sim *sim, struct fem_ctx *ctx);
static int pbc_slv(struct sim *sim, struct fem_ctx *ctx);
static int hyp_slv(struct sim *sim, struct fem_ctx *ctx);

int fem_lin_slv(struct sim *sim, struct fem_ctx *ctx)
{
    assert(sim);

    sim->slv->apx = fem_lin_apx;
```

```

switch (sim->mod) {
    case SIM_ELL:
        return ell_slv(sim, ctx);
    case SIM_PBC:
        return pbc_slv(sim, ctx);
    case SIM_HYP:
        return hyp_slv(sim, ctx);
}

return 0;
}

static int pbc_i1s_slv(struct sim *sim, struct fem_ctx *ctx);
static int pbc_ctx_slv(struct sim *sim, struct fem_ctx *ctx);

static int pbc_slv(struct sim *sim, struct fem_ctx *ctx)
{
    int r = 0;

    if ((r = vec_new(&ctx->w0, ctx->vec.n)))
        goto end;

    if ((r = vec_new(&ctx->w1, ctx->vec.n)))
        goto end;

    if ((r = vec_new(&ctx->tmp, ctx->vec.n)))
        goto end;

    sim->slv->run.bs = 2;

    if (sim->slv->ops.tdd > 2) {
        if ((r = vec_new(&ctx->w2, ctx->vec.n)))
            goto end;

        sim->slv->run.bs = 3;
    }

    if (sim->slv->ops.tdd > 3) {
        if ((r = vec_new(&ctx->w3, ctx->vec.n)))
            goto end;

        sim->slv->run.bs = 4;
    }

    sim->slv->run.wgt[0] = &ctx->w0;
    sim->slv->run.wgt[1] = &ctx->w1;
    sim->slv->run.wgt[2] = &ctx->w2;
    sim->slv->run.wgt[3] = &ctx->w3;

    double beg = sim->ops.tdd.beg;
    double hop = sim->ops.tdd.hop;
    int num = sim->ops.tdd.num;

```



```

sim->slv->run.tv = beg;

for (int i = 0; i <= num; ++i) {
    sim->slv->run.ti = i;

    if (i < sim->slv->ops.ini.num) {
        pbc_i1s_slv(sim, ctx);
    } else {
        sys_slv(sim, ctx);
    }

    if (sim->slv->itr.run)
        sim->slv->itr.run(sim->slv->itr.ctx, sim);

    if (sim->ops.exp.put)
        sim->ops.exp.put(sim);

    sim->slv->run.tv += hop;

    pbc_ctx_shr(sim, ctx);
}

end:
vec_cls(&ctx->w0);
vec_cls(&ctx->w1);
vec_cls(&ctx->w2);
vec_cls(&ctx->w3);

vec_cls(&ctx->tmp);

return r;
}

static int pbc_i1s_slv(struct sim *sim, struct fem_ctx *ctx)
{
    for (int i = 0; i < sim->msh->hxd.len; ++i) {
        struct hxd *hxd = &sim->msh->hxd.dat[i];
        struct obj *obj = &sim->obj.dat[hxd->pid];
        struct cnd_ini *ini = &sim->cnd_ini.dat[obj->ini];

        if (ini->tgt.type == VAL_FUN) {
            struct sim_fun_ctx fctx = {
                .sim = sim,
                .vtx = -1,
                .qud = -1,
                .hxd = i,
            };

            for (int k = 0; k < 8; ++k) {
                fctx.vtx = hxd->vtx[k];
            }
        }
    }
}

```

```

        ctx->w0.dat[hxd->vtx[k]] =
            ini->tgt.as.fun(&fctx, &sim->msh->vtx.dat[hxd->vtx[k]]
    }
} else {
    for (int k = 0; k < 8; ++k)
        ctx->w0.dat[hxd->vtx[k]] = ini->tgt.as.num;
}
}

return 0;
}

static int pbc_ctx_shr(struct sim *sim, struct fem_ctx *ctx)
{
    struct vec *w0 = &ctx->w0;
    struct vec *w1 = &ctx->w1;
    struct vec *w2 = &ctx->w2;
    struct vec *w3 = &ctx->w3;

    switch (sim->slv->ops.tdd) {
        case TDD_I2S:
            vec_swp(w0, w1);
            break;
        case TDD_I3S:
            vec_swp(w1, w2);
            vec_swp(w0, w1);
            break;
        case TDD_I4S:
            vec_swp(w2, w3);
            vec_swp(w1, w2);
            vec_swp(w0, w1);
            break;
    }

    return 0;
}

int fem_lin_asm(struct sim *sim, struct fem_ctx *ctx)
{
    assert(sim);
    assert(ctx);

    switch (sim->mod) {
        case SIM_ELL:
            return ell_asm(sim, ctx);
        case SIM_PBC:
            return pbc_asm(sim, ctx);
        case SIM_HYP:
            return hyp_asm(sim, ctx);
    }

    return 0;
}

```

```

}

struct asm_ops
{
    struct smtx *mlam;
    struct smtx *mgam;
    struct smtx *msig;
    struct smtx *mchi;
    struct smtx *mdir;
    struct smtx *mrob;

    struct vec *vsrc;
    struct vec *vdir;
    struct vec *vneu;
    struct vec *vrob;
};

static int assemble(struct sim *sim, struct asm_ops ops);
static int pbc_asm_i2s(struct sim *sim, struct fem_ctx *ctx);
static int pbc_asm_i3s(struct sim *sim, struct fem_ctx *ctx);
static int pbc_asm_i4s(struct sim *sim, struct fem_ctx *ctx);

static int pbc_asm(struct sim *sim, struct fem_ctx *ctx)
{
    int itr = sim->slv->run.ti;

    mtx_rst(&ctx->mtx);
    mtx_rst(&ctx->sig);
    vec_rst(&ctx->vec);

    assemble(sim, (struct asm_ops){
        .mlam = &ctx->mtx,
        .mgam = &ctx->mtx,
        .msig = &ctx->sig,
        .mchi = NULL,
        .mdir = NULL,
        .mrob = NULL,
        .vsrc = NULL,
        .vdir = NULL,
        .vneu = NULL,
        .vrob = NULL,
    });

    static int (*f[3])(struct sim *, struct fem_ctx *) = {
        pbc_asm_i2s,
        pbc_asm_i3s,
        pbc_asm_i4s,
    };

    f[min(itr, (int)sim->slv->ops.tdd - 1) - 1](sim, ctx);
}

```

```

    return 0;
}

static int pbc_asm_i2s(struct sim *sim, struct fem_ctx *ctx)
{
    // int itr = sim->slv->run.ti;
    double hop = sim->ops.tdd.hop;

    mtx_cmb(&ctx->mtx, &ctx->sig, &ctx->mtx, 1.0 / hop);

    assemble(sim, (struct asm_ops){
        .mlam = NULL,
        .mgam = NULL,
        .msig = NULL,
        .mchi = NULL,
        .mdir = &ctx->mtx,
        .mrob = &ctx->mtx,
        .vsrc = &ctx->vec,
        .vdir = &ctx->vec,
        .vneu = &ctx->vec,
        .vrob = &ctx->vec,
    });

    mtx_vmul(&ctx->sig, &ctx->w1, &ctx->tmp);
    vec_cmb(&ctx->vec, &ctx->tmp, &ctx->vec, 1.0 / hop);

    return 0;
}

static int pbc_asm_i3s(struct sim *sim, struct fem_ctx *ctx)
{
    // int itr = sim->slv->run.ti;
    double hop = sim->ops.tdd.hop;

    mtx_cmb(&ctx->mtx, &ctx->sig, &ctx->mtx, 3.0 / (2 * hop));

    assemble(sim, (struct asm_ops){
        .mlam = NULL,
        .mgam = NULL,
        .msig = NULL,
        .mchi = NULL,
        .mdir = &ctx->mtx,
        .mrob = &ctx->mtx,
        .vsrc = &ctx->vec,
        .vdir = &ctx->vec,
        .vneu = &ctx->vec,
        .vrob = &ctx->vec,
    });

    if (mtx_vmul(&ctx->sig, &ctx->w1, &ctx->tmp))
        return -1;
}

```

```

    if (vec_cmb(&ctx->vec, &ctx->tmp, &ctx->vec, 2.0 / hop))
        return -1;

    if (mtx_vmul(&ctx->sig, &ctx->w2, &ctx->tmp))
        return -1;

    if (vec_cmb(&ctx->vec, &ctx->tmp, &ctx->vec, -1.0 / (2 * hop)))
        return -1;

    return 0;
}

static int pbc_asm_i4s(struct sim *sim, struct fem_ctx *ctx)
{
    // int itr = sim->slv->run.ti;
    double hop = sim->ops.tdd.hop;

    mtx_cmb(&ctx->mtx, &ctx->sig, &ctx->mtx, 11.0 / (6 * hop));

    assemble(sim, (struct asm_ops){
        .mlam = NULL,
        .mgam = NULL,
        .msig = NULL,
        .mchi = NULL,
        .mdir = &ctx->mtx,
        .mrob = &ctx->mtx,
        .vsrc = &ctx->vec,
        .vdir = &ctx->vec,
        .vneu = &ctx->vec,
        .vrob = &ctx->vec,
    });

    if (mtx_vmul(&ctx->sig, &ctx->w1, &ctx->tmp))
        return -1;

    if (vec_cmb(&ctx->vec, &ctx->tmp, &ctx->vec, 3.0 / hop))
        return -1;

    if (mtx_vmul(&ctx->sig, &ctx->w2, &ctx->tmp))
        return -1;

    if (vec_cmb(&ctx->vec, &ctx->tmp, &ctx->vec, -3.0 / (2 * hop)))
        return -1;

    if (mtx_vmul(&ctx->sig, &ctx->w3, &ctx->tmp))
        return -1;

    if (vec_cmb(&ctx->vec, &ctx->tmp, &ctx->vec, 1.0 / (3 * hop)))
        return -1;
}

```

```
    return 0;  
}
```